



سنجش از دور

و GIS ایران



سنجش از دور و GIS ایران
Vol.7, No. 1, Spring 2015

۲۱-۳۸

روشی نوین برای بازآرایی اپی‌پلار تصاویر با هندسه خطی پوشبروم مبتتنی بر مدل مراکز تصویر چندگانه

مجتبی جنتی^۱، محمدجواد ولدان زوج^{۲*}، علی محمدزاده^۳

- دانشجوی کارشناسی ارشد سنجش از دور، دانشگاه صنعتی خواجه نصیرالدین طوسی
- دانشیار گروه فتوگرامتری و سنجش از دور، دانشگاه صنعتی خواجه نصیرالدین طوسی
- استادیار دانشکده مهندسی نقشهبرداری، پژوهشکده سنجش از دور، دانشگاه صنعتی خواجه نصیرالدین طوسی

تاریخ پذیرش مقاله: ۱۳۹۲/۱۰/۳

تاریخ دریافت مقاله: ۱۳۹۱/۳/۲۷

چکیده

نتیجه فرایند بازآرایی اپی‌پلار، تولید تصاویر شبهنرمال است که نقاط متناظر در آنها در امتداد سطراها یا ستون‌ها قرار می‌گیرند. برخلاف تصاویر نرمال حاصل از فرایند بازنمونهبرداری اپی‌پلار، هیچ تضمینی برای تناسب پارالکس موازی و ارتفاع نقاط متناظر در این تصاویر وجود ندارد. با این حال، تولید تصاویر شبهنرمال می‌تواند انجام طیف وسیعی از کارهای فتوگرامتری نظری تناظریابی، مثلث‌بندی هوایی خودکار، تولید مدل رقومی زمین، تولید ارتوقتو، و برجسته‌بینی را میسر سازد. در پژوهش حاضر، روش جدیدی مبتتنی بر مدل مراکز تصویر چندگانه برای بازآرایی اپی‌پلار تصاویر خطی پوشبروم ارائه شد و روند بازآرایی برای دو سیستم تصویربرداری Cross Track و Along Track جداگانه بررسی گردید. اساس روش پیشنهادی، تصحیح مسیر حرکت و پارامترهای وضعیتی سنجنده توسعه یافته است. از مزایای این مدل می‌توان به امکان تصحیح اثر دید غیرقائم سنجنده به سبب تعبیرپذیری فیزیکی پارامترهای مدل اشاره کرد. برمنای نتایج حاصل از ارزیابی دقت تصاویر شبهنرمال تولیدشده به روش پیشنهادی برای یک زوج تصویر استریووی Cross Track در سطح نقاط چک، متوسط پارالکس قائم باقیمانده در سطح مدل ۰/۹۴ پیکسل به دست آمد، که می‌تواند مؤید صحت و کارایی مدل پیشنهادی باشد.

کلیدواژه‌ها: فتوگرامتری، بازآرایی اپی‌پلار، تصویر شبهنرمال، تصاویر خطی پوشبروم، مدل مراکز تصویر چندگانه، تصحیح مسیر حرکت سنجنده.

* نویسنده مکاتبه‌کننده: خیابان ولی‌عصر، تقاطع میرداماد، دانشگاه صنعتی خواجه نصیرالدین طوسی، گروه مهندسی سنجش از دور، دانشکده مهندسی ژئودزی و ریوماتیک.
تلفن: ۰۹۱۲۱۰۵۶۸۱۱

۱- مقدمه

محصول، بخش عمده‌ای از پروژه‌های فتوگرامتری با استفاده از دوربین‌های رقومی انجام می‌شوند (Habib et al., 2005a). دوربین‌های فریم رقومی در قیاس با تصاویر آنالوگ اسکن شده قدرت تفکیک مکانی و پوشش زمینی کمتری دارند (Morgan et al., 2004a) و همین مسئله موجب ظهور دوربین‌هایی با آرایه خطی به عنوان جایگزینی برای دوربین‌های فریم رقومی گردید. سنجنده‌های خطی پوشبروم^۱، مؤثرترین سنجنده‌های رقومی برای دریافت تصاویر رقومی با قدرت تفکیک مکانی بالا هستند (Valadan Zoj, 1995). افزون بر این، با افزایش تعداد خطوط تصویربرداری در امتداد صفحه کانونی نیز می‌توان به پوشش زمینی وسیع‌تری دست یافت (Fritz, 1995). در این شیوه تصویربرداری در هر لحظه فقط یک سطر از صحنه که به لحاظ نظری بیشترین قدرت تفکیک مکانی ممکن را دارد، در راستای عمود بر حرکت سنجنده دریافت می‌شود و با حرکت سنجنده پوششی پیوسته از مناطق مختلف، یک پهنه با دریافت نوارهای باریک متواالی فراهم می‌آید (Kornus et al., 1995; Fraser & Shao, 1996). با توجه به اینکه در این شیوه تصویربرداری پارامترهای توجیه خارجی از هر سطر به سطر دیگر تغییر می‌کنند، هندسه این تصاویر بسیار پیچیده‌تر از تصاویر فریم خواهد بود (Heipke et al., 1996; Valadan Zoj, 1997; Lee et al., 2000) فرایند نرمال‌سازی تصاویر فریم، اصول شناخته شده و مشخصی دارد (Cho et al., 1992)، اما با توجه به پیچیدگی‌های هندسه تصاویر خطی و تنوع مدل‌های ریاضی استفاده شده در تصحیح هندسی این تصاویر، تا کنون روند مشخصی برای بازنمونه‌برداری اپی‌پلار^۲ تصاویر خطی پوشبروم پذیرفته نشده است. در

-
1. Air base
 2. Linear Pushbroom Sensors
 3. Epipolar resampling

ظهور تصاویر رقومی و پیشرفت پیوسته ایستگاه‌های کاری فتوگرامتری رقومی، بر نمایش سه‌بعدی تصاویر استریوو تأثیر فراوانی گذاشته است (Habib et al., 2005b). تجهیزات نوری به کار گرفته شده در استریوپلاترها برای استفاده یک کاربر طراحی شده‌اند و ایجاد تغییر در آنها به منظور افزودن تعدادی عدسی جشمی اضافی اگر غیرممکن نباشد، بسیار دشوار و پرهزینه است (Mikhail et al., 2001). ایستگاه‌های کاری فتوگرامتری رقومی با فراهم‌آوردن امکان مشاهده همزمان یک مدل سه‌بعدی برای چند کاربر، مزیتی ویژه دارند. این قابلیت با پیش‌پردازش تصاویر رقومی ورودی و تولید تصاویر نرمال^۳ -که براساس هندسه اپی‌پلار بازنمونه‌برداری شده‌اند- فراهم می‌آید (Schenk, Mikhail et al., 2001; 1999). در تصاویر نرمال، از یک سو نقاط متناظر عکس در راستای یک سطر یا ستون قرار می‌گیرند و فاقد پارالاکس قائم بر باز هوایی^۱ هستند و از سوی دیگر، پارالاکس موازی با باز هوایی در آنها با ارتفاع نقطه متناظر زمینی متناسب است. از این‌رو، تصاویر نرمال افزون بر بهبود قابلیت بر جسته‌بینی، در تولید سایر محصولات فتوگرامتری نیز سودمندند. به عنوان مثال، این ویژگی که نقاط متناظر فاقد پارالاکس قائم هستند، می‌تواند در کاهش فضای جستجو در فرایند تناظریابی خودکار تصاویر به کار آید (Pollard et al., 1985; Zhang et al., 1995) کاهش فضای جستجو موجب افزایش کارایی و استحکام فرایند تناظریابی می‌شود و این امر نیز به نوبه خود بر سایر فعالیت‌های فتوگرامتری مرتبط -نظیر مثلث‌بندی خودکار و تولید مدل رقومی ارتفاعی- تأثیر مثبت می‌گذارد (Morgan, 2004).

تصاویر رقومی را می‌توان به عنوان ورودی محیط‌های کاری فتوگرامتری رقومی، به دو روش مستقیم با استفاده از یک دوربین تصویربرداری رقومی، و غیرمستقیم با اسکن تصاویر آنالوگ تولید کرد. به منظور کاهش بازه زمانی دریافت تصویر تا تحويل

دقتهایی بالاتر در مقایسه با مدل‌های غیرفیزیکی، در پژوهش حاضر این شیوه مدل‌سازی مدنظر است. بر این اساس، با مبنا قراردادن مدل گوپتا و هارتلی^۵ (۱۹۹۷) و نیز با درنظر داشتن شرایط لازم برای دستیابی به خطوط اپی‌پلار مستقیم که از بررسی مورگان و دیگران^۶ (۲۰۰۴b) به دست آمد، روشی برای بازآرایی اپی‌پلار^۷ تصاویر خطی پوشبروم در هر دو سیستم تصویربرداری Along Track و Cross Track پیشنهاد شد.

در بخش دوم نوشتار حاضر، مبانی نظری موردنیاز ارائه می‌شود. در بخش سوم، پس از معرفی داده‌های مورد استفاده، روش پیشنهادی مطرح می‌گردد. نتایج پیاده‌سازی روش پیشنهادی در بخش چهارم ارائه خواهند شد. بحث و بررسی درخصوص نتایج و پیشنهادهای مطرح شده درخصوص مطالعات آتی، موضوع بخش پنجم خواهد بود.

۲- مبانی نظری

۲-۱- تصویربرداری خطی پوشبروم

تفاوت اساسی تصاویر فریم و تصاویر خطی پوشبروم در این است که تصاویر فریم، مرکز تصویر مشخص و ثابتی دارند، در حالی که هر سطر از تصاویر خطی دارای یک مرکز تصویر است (شکل ۱-الف). درنتیجه نمی‌توان برای این نوع تصاویر صفحه تصویر تعریف کرد (Kim, 2000). درواقع تصاویر خطی پوشبروم از چندین خط جارویی متوالی تشکیل شده‌اند (شکل ۱-ب و پ)، که مراکز تصویر و زوایای دوران از هر خط به خط دیگر متفاوت است.

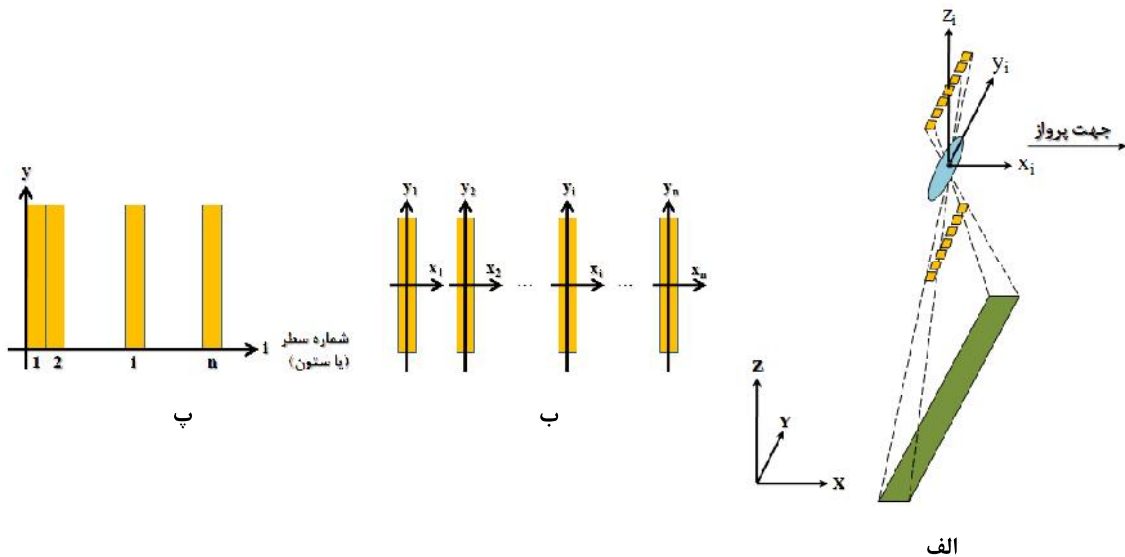
طبقه‌بندی کلی، مدل‌های ریاضی استفاده شده در تصحیح هندسی تصاویر خطی در دو دسته مدل‌های فیزیکی و غیرفیزیکی قرار می‌گیرند و پیش از ورود به مرحله نرم‌السازی لازم است در مورد گزینش مدل مناسب تصمیم‌گیری شود (McGlone, 1996).

پژوهشی، کیم^۸ (۲۰۰۰) با استفاده از مدل مراکز تصویر چندگانه و فرض ثابت بودن پارامترهای وضعیتی roll و pitch، و مدل‌سازی پارامترهای موقعیتی و پارامتر وضعیتی yaw با استفاده از چندجمله‌ای‌های درجه دو (Orun & Natarajan, 1994) هندسه اپی‌پلار تصاویر خطی را بررسی کرد. براساس نتایج این تحقیق، خطوط اپی‌پلار حاصل از چنین مدلی هذلولی‌شکل بود. در پژوهش دیگری، با فرض وضعیت ثابت و حرکت خطی سنجنده در بازه زمانی دریافت تصویر، مدل ساده‌شده‌ای برای مدل‌سازی تصاویر پوشبروم پیشنهاد شد، که شکل خطوط اپی‌پلار بازسازی شده آن نیز هذلولی بود (Gupta & Hartly, 1997).

مورگان^۹ (۲۰۰۴) با استفاده از مدل افاین سه‌بعدی به بازنمونه‌برداری ابی‌پلار تصاویر خطی پرداخت. در پژوهشی دیگر، مورگان و دیگران (۲۰۰۴b) عوامل مؤثر بر شکل منحنی‌های اپی‌پلار حاصل از سنجنده‌ای با وضعیت و سرعت ثابت را بررسی کردند. براساس نتایج تحقیق آنان، شکل عمومی منحنی‌های اپی‌پلار حاصل هذلولی بود. مورگان و همکارانش در آن تحقیق، شرایط مختص موردنیاز برای دستیابی به خطوط اپی‌پلار مستقیم را نیز بررسی کردند. ژاو^{۱۰} و دیگران (۲۰۰۸) با استفاده از مدل توابع کسری به بازیابی خطوط اپی‌پلار تصاویر خطی پرداختند. در نهایت، وانگ^{۱۱} و دیگران (۲۰۱۱) با تصویرکردن خطوط اپی‌پلار بر یک صفحه مرجع در فضای شیئی، با استفاده از مدل توابع کسری به بازنمونه‌برداری اپی‌پلار تصاویر خطی پوشبروم پرداختند.

با توجه به قابلیت ذاتی مدل‌های فیزیکی در تأمین

1. Kim
2. Morgan
3. Zhao
4. Wang
5. Gupta & Hartly
6. Epipolar Re-Arrangement



شکل ۱. هندسه هر سطر از تصاویر خطی، پرسپکتیو (الف)؛ مجموعه‌ای از تصاویر یکبعدی (ب)؛ یک صحنۀ کامل (پ)

چندجمله‌ای‌های زمانی برآورده می‌گردد (Kratky, 1987; Shibusaki et al., 1988; Ganguly, 1991; Orun & Natarajan, 1994; Gupta & Hartley, 1997; Kim, 2000; Lee et al., 2000; Habib et al., 2005b). این مدل‌ها به طور عام مدل مرکز تصویر چندگانه خوانده می‌شوند.

۲-۲- مدل مرکز تصویر چندگانه

در مدل مرکز تصویر چندگانه معادلات، شرط هم خطی اساس مدل‌سازی است و موقعیت و وضعیت لحظه‌ای سنجنده در بازۀ زمانی دریافت تصویر به کمک چندجمله‌ای‌هایی نسبت به زمان مدل‌سازی می‌شوند (رابطه ۱) (Kratky, 1987).

رابطه (۱)

$$\begin{pmatrix} x = 0 \\ y \\ -c \end{pmatrix} = \lambda \times R_3(\kappa(t)) \times R_2(\varphi(t)) \times R_1(\omega(t)) \times \begin{pmatrix} X - X_S(t) \\ Y - Y_S(t) \\ Z - Z_S(t) \end{pmatrix}$$

که در آن، \$(x, y)\$ مختصات نقاط در فضای تصویر خطی پوش‌بروم؛ \$c\$ فاصلۀ اصلی سیستم پیویکی؛ \$(X_S, Y_S, Z_S)\$ مختصات لحظه‌ای مرکز تصویر در سیستم

با توجه به نزدیکی مکانی موقعیت مرکز تصویر در بازۀ زمانی ثبت سطرهای متوالی تصاویر خطی، ساختار حرکتی مشخص و قابل پیش‌بینی سکوهای ماهواره‌ای، وجود سیستم‌های حفظ وضعیت در این سکوها، نمی‌توان پارامترهای توجیه خارجی سطرهای متوالی این تصاویر را کاملاً مستقل دانست (Valadan Zoj, 1995). به همین دلیل، راهکارهای مختلفی برای مدل‌سازی زمانی پارامترهای توجیه خارجی تصاویر خطی ارائه شده است که تمامی آنها به‌نحوی سعی در تخمین مسیر حرکت سنجنده و تغییرات وضعیتی آن در بازۀ زمانی دریافت تصویر دارند. در برخی از این مدل‌ها، مسیر حرکت سنجنده براساس پارامترهای کپلری مدار ماهواره و پارامترهای وضعیتی با استفاده از چندجمله‌ای‌های زمانی مدل‌سازی می‌شوند (Guichard, 1983; Toutin, 1986; Salmonowicz, 1986; Gugan, 1987; Westin, 1990; Priebbenow, 1991; De Haan, 1992; Radhadevi and Ramachandran, 1994; Valadan Zoj, 1995). این مدل‌ها با نام عمومی مدل پارامترهای مداری شناخته می‌شوند. در دسته دیگری از مدل‌ها، مسیر حرکت سنجنده نیز همانند پارامترهای وضعیتی با استفاده از

تصاویر پوشبروم پیشنهاد کردند که بدون نیاز به پارامتر وضعیتی yaw و فقط با استفاده از نقاط کنترل زمینی حل می شد. براساس بررسی های صورت گرفته، خطوط اپیپلار بازسازی شده براساس این مدل نیز هذلولی شکل بود (Lee et al., 2002). مورگان و دیگران (۲۰۰۴b) در پژوهشی عوامل مؤثر بر شکل منحنی های اپیپلار حاصل از سنجنده ای با وضعیت و سرعت ثابت را، مشابه فرضیات مدل گوپتا و هارتلی (۱۹۹۷) بررسی کردند. با توجه به ارتباط نتایج حاصل از پژوهش آنها و روش پیشنهادی در مقاله حاضر، در بخش بعد به اختصار به این موضوع پرداخته می شود.

۳-۲- هندسه اپیپلار صحنه دریافت شده از طریق سنجنده ای با سرعت و وضعیت ثابت

در یک زوج تصویر فریم استریو، صفحه گذرنده از مراکز دو تصویر و هر نقطه در فضای شیئی، صفحه اپیپلار نامیده می شود (Schenk, 1990) و فصل مشترک صفحه اپیپلار با صفحات تصویر، خطوط اپیپلار نام دارد (Cho et al., 1992). در فرایند بازنمونه برداری اپیپلار این تصاویر، با محاسبه پارامترهای وضعیتی جدید، دو تصویر به گونه ای تصحیح می شوند که صفحات در برگیرنده آنها با باز هوایی موازی شوند (شکل ۲-الف) (Cho et al., 1995; Zhang et al., 1992). اما در مورد تصاویر خطی پوشبروم، با توجه به تعدد مراکز تصویر (بخش ۲-۲) و به تبع آن تعدد صفحات اپیپلار، نمی توان به راحتی خطوط اپیپلار را براساس فصل مشترک صفحات تصویر و صفحه اپیپلار تعریف کرد. درنتیجه معمولاً تعریف دیگری درخصوص این تصاویر به کار می رود. بر این اساس، خطوط یا منحنی های اپیپلار به صورت مکان هندسی تمام نقاط متناظر ممکن برای یک نقطه عکسی در عکس دیگر، به ازای تغییر ارتفاع در فضای شیئی تعریف می شوند (شکل ۲-ب و پ).

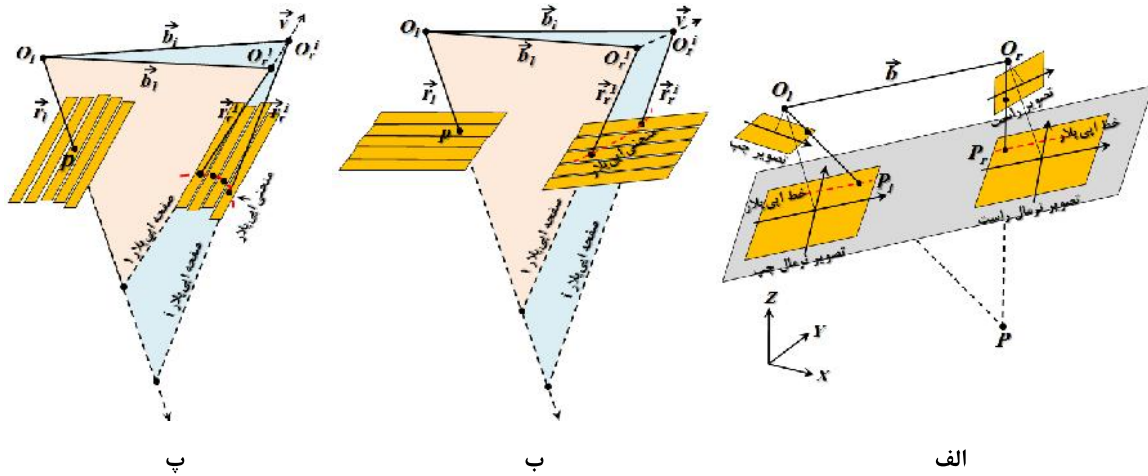
-
1. Orun and Natarajan
 2. Ephemeris

مختصات زمینی؛ (X,Y,Z) مختصات زمینی نقاط؛ λ ضریب مقیاس؛ R₁, R₂ و R₃ به ترتیب ماتریس های دوران سه بعدی حول سه محور اول، دوم و سوم؛ φ و Κ زوایای دوران لحظه ای سنجنده، و t پارامتر زمان است که عموماً همارز با شماره سطر تصویر در نظر گرفته می شود. همان طور که پیش تر اشاره شد، پویایی پارامترهای توجیه خارجی با استفاده از چندجمله ای های زمانی مدل سازی می شود (رابطه ۲).

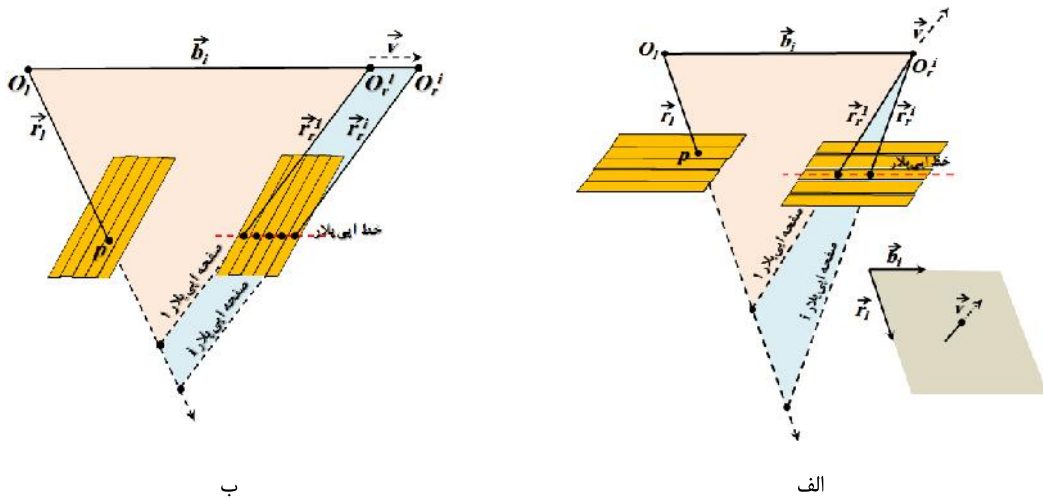
رابطه (۲)

$$\begin{aligned} X_S &= X_o + X_1t + X_2t^2 + \dots \\ Y_S &= Y_o + Y_1t + Y_2t^2 + \dots \\ Z_S &= Z_o + Z_1t + Z_2t^2 + \dots \\ \omega &= \omega_o + \omega_1t + \omega_2t^2 + \dots \\ \varphi &= \varphi_o + \varphi_1t + \varphi_2t^2 + \dots \\ \kappa &= \kappa_o + \kappa_1t + \kappa_2t^2 + \dots \end{aligned}$$

درجه مناسب چندجمله ای های به کار رفته، به عواملی نظیر طول مسیر حرکت ماهواره، پایداری و نرخ تغییرات وضعیت ماهواره و سنجنده، دقت لازم، تعداد نقاط کنترل، و امکانات محاسباتی در دسترس بستگی دارد (Valadan Zoej, 1995) در پژوهشی، ارون و ناتاراجان^۱ (۱۹۹۴) با استفاده از مدل مراکز تصویر چندگانه و فرض ثابت بودن پارامترهای وضعیتی roll و pitch، و مدل سازی پارامترهای موقعیتی و پارامتر وضعیتی yaw با استفاده از چندجمله ای های درجه دو مدل کاهش یافته ای را برای تصحیح هندسی تصاویر خطی پوشبروم پیشنهاد کردند، که برای حل آن افرون بر نقاط کنترل زمینی به داده های افمریز^۲ سنجنده نیز نیاز است. در پژوهش دیگری، کیم (۲۰۰۰) با استفاده از این مدل به بررسی هندسه اپیپلار تصاویر خطی پرداخت. براساس نتایج تحقیق وی، خطوط اپیپلار حاصل از چنین مدلی هذلولی شکل خواهد بود. در پژوهش دیگری، گوپتا و هارتلی (۱۹۹۷) با فرض وضعیت ثابت و حرکت خطی سنجنده در بازه زمانی دریافت تصویر، مدل ساده شده ای را برای مدل سازی



شکل ۲. هندسه اپیپلار در تصاویر فریم (الف)، و تصاویر خطی با سیستم تصویربرداری Along Track (ب)، و Cross Track (پ)



شکل ۳. شرایط لازم برای دریافت تصاویر خطی اپیپلار در سیستم تصویربرداری Along Track (الف)، و Cross Track (ب)

دستیابی به چنین شرایطی در مورد تصاویر Cross Track و Along Track، به ترتیب به معنای برقراری روابط (۳) و (۴) بهزای تمام نقاط متناظر از تصاویر استریوو است.

$$(\vec{r}_l^j \otimes \vec{b}_l) \otimes \vec{v} = 0 \quad (3)$$

$$(\vec{r}_l^j \otimes \vec{b}_l) \circ \vec{v} = 0 \quad (4)$$

در این دو رابطه، \vec{r}_l^j بردار موقعیت نقطه عکسی چپ در سیستم مختصات فتوگرامتری سطر زام، \vec{b}_l باز

در تصاویر خطی پوشبروم حتی با فرض وضعیت ثابت و حرکت خطی سنجنده، باز هم هیچ تضمینی برای رسیدن به خطوط اپیپلار مستقیم وجود ندارد و در حالت کلی، منحنی‌های اپیپلار حاصل از چنین مدلی منحنی‌های هذلولی شکل خواهد بود (Morgan et al., 2004b). شرایط لازم برای دستیابی به خطوط اپیپلار مستقیم با استفاده از این مدل، هم صفحه‌بودن تمام صفحات اپیپلار ممکن یک نقطه عکسی مانند p بهزای تغییر ارتفاع در فضای شیئی است (شکل ۳).

۲-۳- روش پیشنهادی

همان طور که در بخش ۱-۲ اشاره شد، در تصویربرداری خطی پوشبروم با فرض ثابت بودن وضعیت و سرعت سنجنده در بازه زمانی دریافت تصویر، شرط لازم و کافی برای دستیابی به خطوط اپیپلار مستقیم، هم‌صفحه بودن تمام صفحات اپیپلار ممکن یک نقطه عکسی مانند p به ازای تغییر ارتفاع در فضای شیئی است (شکل ۳). به این ترتیب، اگر صفحه دربرگیرنده این صفحات را صفحه اپیپلار ایده‌آل نام‌گذاری کنیم، با فرض وضعیت ثابت سنجنده در بازه زمانی دریافت تصویر، خط اپیپلار ایده‌آل نیز - مشابه با تصاویر فریم- به صورت فصل مشترک صفحه دربرگیرنده تصویر و صفحه اپیپلار ایده‌آل تعریف می‌شود. شرایط لازم برای تشکیل صفحه اپیپلار ایده‌آل در دو سیستم تصویربرداری Along Track و Cross Track به ترتیب با استفاده از روابط (۳) و (۴) شرح داده می‌شود. براساس رابطه (۳)، شرط لازم و کافی برای تشکیل صفحه اپیپلار ایده‌آل در سیستم تصویربرداری Cross Track، موازی بودن بردار سرعت و تساوی مؤلفه‌های yaw و pitch و وضعیت سنجنده برای دو تصویر استریو است. در این حالت، خطوط اپیپلار ایده‌آل متضایر در امتداد سطوحی دو تصویر تشکیل خواهد شد (شکل ۳-الف). در تحلیلی مشابه و با استناد به رابطه (۴)، شرط لازم و کافی برای تشکیل صفحه اپیپلار ایده‌آل در سیستم تصویربرداری Along Track، هم‌صفحه بودن بردار سرعت و تساوی مؤلفه‌های yaw و roll و وضعیتی yaw سنجنده برای دو تصویر استریو است. به این ترتیب، خطوط اپیپلار ایده‌آل متضایر در امتداد ستون‌های دو تصویر تشکیل خواهد شد (شکل ۳-ب). از این‌رو، به‌نظر می‌رسد بتوان با برآورد پارامترهای مسیر و وضعیت ایده‌آل سنجنده، بازآرایی اپیپلار تصاویر خطی را انجام داد (شکل ۵).

هوایی حاصل از اتصال مرکز تصویر سطر مربوط به نقطه عکسی چپ و مرکز تصویر سطر مربوط به نقاط عکسی متناظر ممکن در صحنه راست به‌ازای تغییر ارتفاع در فضای شیئی و ∇ بردار سرعت سنجنده در حین ثبت صحنه راست است. علائم \otimes و \circ نیز به ترتیب معرف ضرب خارجی و ضرب داخلی دو بردار است.

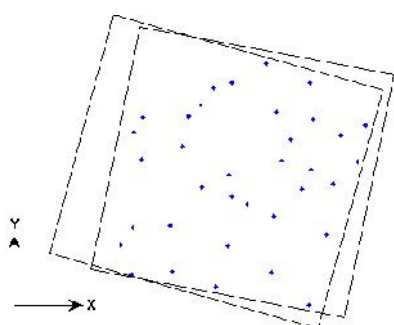
۳- مواد و روش‌ها

۳-۱- داده‌های به کار گرفته شده

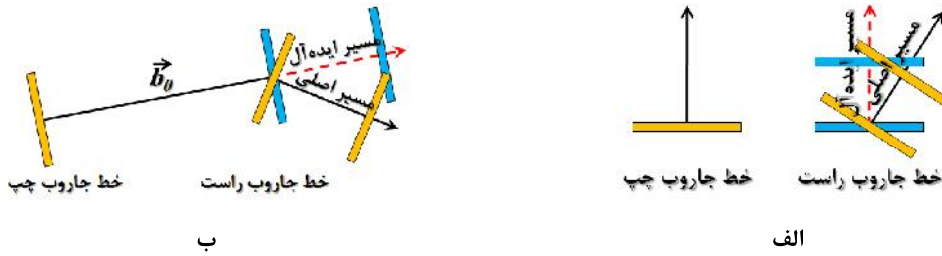
تصاویر استریوی به کار گرفته شده در این پژوهش، تصاویر خام سطح 1A منطقه اصفهان است که با سنجنده SPOT-1 HRV ماهواره ای این تصاویر و تعداد نقاط کنترلی اطلاعات هندسی این تصاویر و توزیع نقاط کنترلی موجود در جدول ۱ آمده است. توزیع نقاط کنترلی در فضای تصاویر و نحوه پوشش تصاویر استریو در شکل ۴ نشان داده شده است.

جدول ۱. مشخصات مجموعه تصاویر استریو

اصفهان	مجموعه داده
SPOT-1	سکو
HRV	سنجنده
Aug 1987	تاریخ دریافت
24.7° W	زاویه دید (درجه)
10 m	قدرت تفکیک مکانی در نادیر
0.974	نسبت باز به ارتفاع
35	تعداد نقاط کنترل



شکل ۴. توزیع نقاط کنترل در سطح تصاویر استریو



شکل ۵. مسیر ایده‌آل سنجنده برای بازآرایی اپی‌پلار تصاویر خطی پوشبروم Cross Track (الف)، و (ب)

مسیر حرکت سنجنده برای دو تصویر است. از این‌رو می‌توان نقطه میانی پاره خط مسیر سنجنده در بازه زمانی تشکیل تصویر (مرکز ثقل مسیر حرکت سنجنده) را برای دو تصویر بر هم منطبق کرد و با سه دوران متوالی به اندازه نیمی از اختلاف زاویه دو مسیر در صفحات مختصات XOX_Y و YOZ، بردار سرعت آنها را موازی ساخت (شکل ۶). نتیجه این فرایند، معادل میانگین گیری از بردار سرعت مربوط به دو صحنه است.

به منظور یکسان‌سازی پارامترهای وضعیتی pitch و yaw می‌توان از میانگین این پارامترها در تصاویر چپ و راست استفاده کرد. تا این مرحله تمامی شرایط لازم برای رسیدن به تصاویر نرمال در سیستم تصویربرداری Cross Track فراهم آمده است، اما به دلیل متغیر بودن مقیاس و اثر دید غیرقائم سنجنده، تصاویر نرمال تولید شده هنوز برای مقاصد بر جسته‌بینی مناسب نیستند. به منظور فلت آمدن بر این مسائل می‌توان با صفر کردن پارامترهای وضعیتی roll، pitch و yaw، اثر دید غیرقائم سنجنده را بر طرف کرد و با میانگین گیری از پارامتر Z₀ دو تصویر و صفر کردن پارامتر Z₁ آنها، مقیاس سراسر دو صحنه را یکسان کرد. خلاصه‌ای از فرایند برآورد پارامترهای توجیه خارجی ایده‌آل با استفاده از پارامترهای توجیه خارجی دو تصویر برای سیستم تصویربرداری Cross Track در جدول ۲ آمده است. با استدلال‌های مشابه، نحوه برآورد پارامترهای توجیه خارجی ایده‌آل برای سیستم تصویربرداری در جدول ۳ درج شده است.

به منظور بازآرایی اپی‌پلار تصاویر استریو، آگاهی از پارامترهای توجیه خارجی یا دست کم پارامترهای توجیه نسبی تصاویر ضروری است. با توجه به پیچیدگی هندسه تصویربرداری خطی، توجیه نسبی این تصاویر به سادگی میسر نخواهد بود. از این‌رو در مرحله نخست، لازم است پارامترهای توجیه خارجی تصاویر با استفاده از نقاط کنترل زمینی و طی فرایند تعریف فضایی برآورد شوند. همان‌طور که پیش‌تر اشاره شد، مدل ریاضی به کار رفته در روش پیشنهادی مدل مراکز تصویر چندگانه (رابطه ۱)، با فرض سرعت و وضعیت ثابت، سنجنده مدل گوپتا و هارتلی است (رابطه ۵).

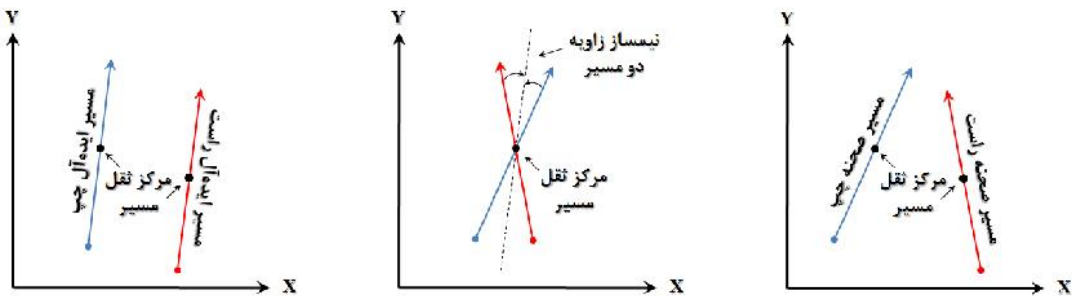
رابطه (۵)

$$\begin{aligned} X_S &= X_o + X_1 \cdot i & \omega &= \omega_o \\ Y_S &= Y_o + Y_1 \cdot i & \varphi &= \varphi_o \\ Z_S &= Z_o + Z_1 \cdot i & \kappa &= \kappa_o \end{aligned}$$

در رابطه (۵) درواقع ۹ پارامتر مجھول وجود دارد: [X₀, Y₀, Z₀]^T موقعیت مرکز تصویر سطر اول صحنه، [X₁, Y₁, Z₁]^T بردار سرعت سنجنده، و (ω₀, φ₀, κ₀) زوایای توجیه صفحه در گیرنده سطرهای تصویر. پارامتر ι هم شماره سطر است، که به عنوان پارامتر زمان استفاده شده است.

Cross Track در مورد تصاویر خطی پوشبروم، پارامترهای توجیه خارجی دو تصویر باید به گونه‌ای ویرایش شوند که بردار سرعت آنها موازی و مؤلفه‌های وضعیتی pitch و yaw تصاویر مساوی شوند. موازی بودن بردار سرعت تصاویر به معنای موازی بودن

روشی نوبن برای بازآرایی ابی‌بلار تصاویر با هندسه خطی پوش‌بروم مبتنی بر مدل مراکز تصویر چندگانه



شکل ۶. نمایش تصویری مراحل موازی‌سازی مسیر صحنه‌های چپ و راست در صفحه YOY

جدول ۲. محاسبه پارامترهای توجیه خارجی ایده‌آل برای سیستم تصویربرداری خطی پوش‌بروم[†]

پارامترهای ایده‌آل صحنه چپ	پارامترهای ایده‌آل صحنه راست
$X_0^n = X_0^l$	$X_0^n = X_0^r$
$Y_0^n = 0.5(Y_0^l + Y_0^r)$	$Y_0^n = 0.5(Y_0^l + Y_0^r)$
$Z_0^n = 0.5(Z_0^l + Z_0^r)$	$Z_0^n = 0.5(Z_0^l + Z_0^r)$
$X_1^n = 0.5(X_1^l + X_1^r)$	$X_1^n = 0.5(X_1^l + X_1^r)$
$Y_1^n = 0.5(Y_1^l + Y_1^r)$	$Y_1^n = 0.5(Y_1^l + Y_1^r)$
$Z_1^n = 0$	$Z_1^n = 0$
$\omega^n = 0$	$\omega^n = 0$
$\phi^n = 0$	$\phi^n = 0$
$\kappa^n = 0.5(\kappa^l + \kappa^r)$	$\kappa^n = 0.5(\kappa^l + \kappa^r)$

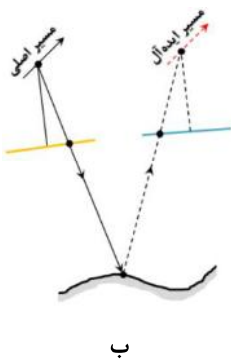
[†] اندیس ۱ برای صحنه چپ، اندیس r برای صحنه راست، و اندیس n برای پارامترهای ایده‌آل به کار رفته است.

جدول ۳. محاسبه پارامترهای توجیه خارجی ایده‌آل برای سیستم تصویربرداری خطی پوش‌بروم[‡]

پارامترهای ایده‌آل صحنه چپ	پارامترهای ایده‌آل صحنه راست
$X_0^n = 0.5(X_0^l + X_0^r)$	$X_0^n = 0.5(X_0^l + X_0^r)$
$Y_0^n = Y_0^l$	$Y_0^n = Y_0^r$
$Z_0^n = 0.5(Z_0^l + Z_0^r)$	$Z_0^n = 0.5(Z_0^l + Z_0^r)$
$X_1^n = 0.5(X_1^l + X_1^r)$	$X_1^n = 0.5(X_1^l + X_1^r)$
$Y_1^n = 0.5(Y_1^l + Y_1^r)$	$Y_1^n = 0.5(Y_1^l + Y_1^r)$
$Z_1^n = 0$	$Z_1^n = 0$
$\omega^n = 0$	$\omega^n = 0$
$\phi^n = 0$	$\phi^n = 0$
$\kappa^n = 0.5(\kappa^l + \kappa^r)$	$\kappa^n = 0.5(\kappa^l + \kappa^r)$

[‡] اندیس ۱ برای صحنه چپ، اندیس r برای صحنه راست، و اندیس n برای پارامترهای ایده‌آل به کار رفته است.

در رابطه (۶)، r', c' مختصات نقاط در تصویر خام، (r, c) مختصات نقاط در تصویر نرمال، و a_{ij} و b_{ij} ضرایب مجھول تبدیل دو بعدی مرتبط کننده دو فضای هستند. به این ترتیب، رابطه‌ای کلی برای ارتباط نقاط دو فضای تعریف می‌شود که مستقل از شماره سطر نقاط در فضای تصویر اصلی است. با توجه به تعداد و توزیع مناسب نقاط، انتظار می‌رود برازش سراسری این مدل مناسب باشد. مشکل دوم از آنجا ناشی می‌شود که برای انتقال مختصات نقاط از فضای تصویر اصلی به فضای تصویر خروجی، لازم است ابتدا با استفاده از پارامترهای تصویر خارجی تصویر اصلی و ارتفاع نقاط، مختصات نقاط به فضای شیئی منتقل شوند و سپس به کمک پارامترهای تصویر خارجی تصویر خروجی، به این فضای انتقال بینند. از آنجاکه مختصات ارتفاعی نقاط در دسترس نیست، بهنچه باید از ارتفاع متوسط منطقه استفاده کرد. هنگام بازنمونه‌برداری اپی‌پلار تصاویر فریم نیز این مسئله وجود دارد؛ اما چون در این فرایند مرکز تصویر آنها دستخوش تغییر نمی‌شود، تغییر ارتفاع در فضای شیئی تأثیری بر فرایند بازنمونه‌برداری نخواهد داشت (شکل ۷-الف). این در حالی است که برای تصاویر خطی، با مقایسه پارامترهای تصویر خارجی تصویر اصلی و پارامترهای تصویر خارجی ایده‌آل به راحتی می‌توان دریافت که مراکز تصویر آنها تغییر می‌کند (شکل ۵). بدین ترتیب با تغییر ارتفاع در فضای شیئی، موقعیت ثبت نقاط در فرایند بازنمونه‌برداری تغییر خواهد کرد (شکل ۷-ب).



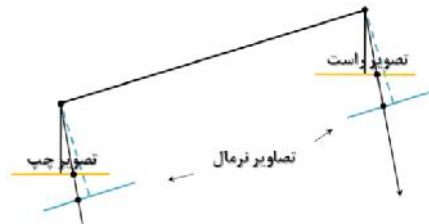
ب

پس از محاسبه پارامترهای توجیه خارجی ایده‌آل دو تصویر، نوبت به بازنمونه‌برداری آنها می‌رسد. به پرهیز از دو پدیده فرانمونه‌برداری و فرونمونه‌برداری، معمولاً از روش بازنمونه‌برداری غیرمستقیم استفاده می‌شود. در این روش، پس از مشخص کردن محدوده تصویر ورودی در فضای تبدیل یافته و تعیین فاصله نمونه‌برداری براساس نسبت ابعاد محدوده مورد نظر در دو فضای مختصات هر نقطه از فضای تصویر تبدیل یافته با استفاده از روابط ارتباطی معکوس به فضای تصویر اصلی بازگردانده می‌شود و درجهٔ خاکستری مربوط به آن نقطه، به نظر متناظر در تصویر خروجی تخصیص داده می‌شود. اما پیاده‌سازی این روش برای تصاویر خطی با دو مشکل جدی مواجه است. نخست آنکه به دلیل پویایی پارامترهای توجیه خارجی تصاویر خطی، برای استفاده از روابط معکوس لازم است شماره سطر متناظر با نقطهٔ مورد نظر در فضای تصویر اصلی به‌ازای تمام نقاط فضای تصویر تبدیل یافته معلوم باشد؛ که در عمل این‌گونه نیست. یکی از راههای حل این مشکل، انتقال مختصات شبکهٔ منظمی از نقاط (مثلاً به فاصله ۴۰ پیکسل) از فضای تصویر اصلی به فضای تصویر خروجی، و سپس برازش یک مدل عمومی - نظری چندجمله‌ای‌های دو بعدی - به این دو سری مختصات است (رابطه ۶).

رابطه (۶)

$$r' = \sum_{i=0}^n \sum_{j=0}^{n-i} a_{ij} r^i c^j = a_0 + a_1 r + a_2 c + a_3 rc + a_4 r^2 + a_5 c^2 + \dots$$

$$c' = \sum_{i=0}^n \sum_{j=0}^{n-i} b_{ij} r^i c^j = b_0 + b_1 r + b_2 c + b_3 rc + b_4 r^2 + b_5 c^2 + \dots$$



الف

شکل ۷. تأثیر عدم تغییر (الف)، و تغییر (ب) مرکز تصویر در بازنمونه‌برداری تصویر به‌ازای تغییر ارتفاع در فضای شیئی

فرایند تقاطع فضایی، ارتفاع دقیق نقاط را در فضای
شیئی محاسبه کرد.

۴- نتایج و بحث

در این بخش نتایج حاصل از پیاده‌سازی روش پیشنهادی برای سیستم تصویربرداری Cross Track روی یک زوج تصویر استریو SPOT-1A از منطقه اصفهان ارائه می‌شود. مشخصات مجموعه داده‌های استفاده شده در جدول ۱ آمده است. در مرحله نخست، با انتخاب ترکیب‌های عددی متنوعی از مجموع ۳۵ نقطه زمینی معلوم و ترفعی فضایی تصاویر، پارامترهای توجیه خارجی دو صحنه برآورد شدند. در هر مرحله، باقی مانده نقاط زمینی معلوم نیز به عنوان نقاط کنترل مستقل در ارزیابی دقت ترفعی فضایی تصاویر به کار گرفته شدند (جدول‌های ۴ و ۵).

روشن است که این تغییر موقعیت در راستای خطوط اپیپلار رخ خواهد داد (شکل ۷)، درنتیجه نقاط متناظر در تصاویر بازنمونه‌برداری شده چپ و راست، همچنان در امتداد سطرهای (یا ستون‌های) تصاویر قرار خواهند گرفت. اما به‌حال، رابطه مستقیم پارالاکس موازی و ارتفاع نقاط برهم‌خورده و تصاویر بازنمونه‌برداری شده، اندکی از مفهوم تصاویر نرمال فاصله می‌گیرند. از این‌رو، روش پیشنهادی به عنوان روشی برای بازآرایی اپیپلار تصاویر خطی ارائه شده و خروجی آن تصاویر شبهنرمالی است که می‌توانند در فرایند تناظریابی خودکار و برجسته‌بینی (البته با کمی اعوجاج) به کار گرفته شوند. پس از انجام تناظریابی خودکار، به‌دلیل وجود روابط صریح میان فضای تصویر بازنمونه‌برداری شده و تصاویر اصلی می‌توان مختصات نقاط متناظر را به فضای تصاویر اصلی بازگرداند و طی

جدول ۴. دقت ترفعی فضایی تصویر چپ با استفاده از مدل گوپتا و هارتلی به‌ازای تعداد متفاوت نقاط کنترل

# GCPs	# CHKs	σ_r (pix)	σ_c (pix)	σ_t (pix)
کمتر از ۷	---	---	---	---
۷	۲۸	۰/۵۶	۱/۳۸	۱/۴۹
۱۰	۲۵	۰/۵۱	۰/۸۹	۱/۰۳
۱۵	۲۰	۰/۴۷	۰/۸۳	۰/۹۵
۲۰	۱۵	۰/۵۰	۰/۷۹	۰/۹۴

جدول ۵. دقت ترفعی فضایی تصویر راست با استفاده از مدل گوپتا و هارتلی به‌ازای تعداد متفاوت نقاط کنترل

# GCPs	# CHKs	σ_r (pix)	σ_c (pix)	σ_t (pix)
کمتر از ۸	---	---	---	---
۸	۲۷	۱/۱۵	۱/۱۲	۱/۶۱
۱۰	۲۵	۱/۲۱	۱/۰۴	۱/۵۹
۱۵	۲۰	۱/۰۹	۰/۹۳	۱/۴۳
۲۰	۱۵	۱/۰۷	۰/۸۶	۱/۳۷

ناتاراجان (۱۹۹۴)، دقیق‌ترین پیکربندی بر شمرده شده است (Kim, 2000; Lee et al., 2002; Morgan, 2004). به منظور ارزیابی دقیق‌تر مدل ارائه شده، دقت ترفعی فضایی تصاویر مورد مطالعه به‌ازای تعداد متفاوت نقاط کنترل با استفاده از این مدل نیز در جدول‌های ۶ و ۷ ارائه گردید.

مقایسه دقت‌های به‌دست‌آمده از این مدل و دقت‌های حاصل از مدل گوپتا و هارتلی (جدول‌های ۴ و ۵)، به‌وضوح نشان می‌دهد که تفاوت چندانی میان آنها وجود ندارد و حتی هنگام استفاده از تعداد کم نقاط کنترل، مدل گوپتا و هارتلی دقت‌های بالاتری را تأمین می‌کند. این تفاوت با توجه به تعداد بیشتر مجھولات مدل آرون و ناتاراجان و کاهش درجه آزادی دستگاه معادلات تفسیر می‌شود. از این‌رو، استفاده از مدل گوپتا و هارتلی (۱۹۹۷) در روش پیشنهادی منطقی به‌نظر می‌رسد.

با توجه به اینکه در مدل ریاضی استفاده شده (رابطه ۵) فقط ۹ پارامتر مجھول وجود دارد، به‌لحاظ نظری این مدل باید با استفاده از حداقل ۵ نقطه کنترل زمینی و یک درجه آزادی امکان حل داشته باشد. اما همان‌طور که از نتایج برمند آید (جدول‌های ۴ و ۵)، روند سرشکنی دستگاه معادلات مربوط به تصاویر چپ و راست به‌ترتیب با کمتر از ۷ و ۸ نقطه کنترل زمینی منجر به همگرایی نشد و به‌نظر می‌رسد علت آن شرایط نامناسب مقادیر اولیه برآورده شده برای مجھولات مدل با استفاده از نقاط کنترل باشد. در این صورت، انتظار می‌رود این مشکل با استفاده از داده‌های افمریز سنجنده حل شدنی باشد و بتوان با استفاده از نقاط کنترلی کمتر نیز به دقت‌های مناسبی برای ترفعی تصاویر دست یافت.

در میان پیکربندی‌های مختلف استفاده شده در مدل مراکز تصویر چندگانه، پیکربندی آرون و

جدول ۶. دقت ترفعی فضایی تصویر چپ با استفاده از مدل آرون و ناتاراجان به‌ازای تعداد متفاوت نقاط کنترل

# GCPs	# CHKs	σ_r (pix)	σ_c (pix)	σ_t (pix)
کمتر از ۱۱	---	---	---	---
۱۱	۲۵	۰/۷۱	۰/۸۳	۱/۰۹
۱۲	۲۳	۰/۶۷	۰/۸۵	۱/۰۸
۱۵	۲۰	۰/۶۳	۰/۸۷	۱/۰۷
۲۰	۱۵	۰/۵۶	۰/۹۳	۱/۰۹

جدول ۷. دقت ترفعی فضایی تصویر راست با استفاده از مدل آرون و ناتاراجان به‌ازای تعداد متفاوت نقاط کنترل

# GCPs	# CHKs	σ_r (pix)	σ_c (pix)	σ_t (pix)
کمتر از ۸	---	---	---	---
۸	۲۷	۱/۸۹	۱/۱۵	۲/۲۱
۱۰	۲۵	۱/۵۲	۰/۹۱	۱/۷۷
۱۵	۲۰	۱/۱۷	۰/۸۸	۱/۴۶
۲۰	۱۵	۱/۰۶	۰/۹۴	۱/۴۱

مختصات عکسی) به منظور برقراری ارتباط دو فضا استفاده شد. در این فرایند، شبکه منظم 60×60 از نقاط کنترلی میان دو فضا به دست آمد که نیمی از نقاط آن (یک در میان) در حل مدل چندجمله‌ای ارتباطی و نیم دیگر در ارزیابی دقیق برآذش آن به کار گرفته شد. به این ترتیب، مدل مربوط به تصاویر چپ و راست به ترتیب، $0/21$ و $0/15$ پیکسل برآورد شد. انتظار می‌رود در فرایند بازآرایی اپیپلار تصاویر، پارالاکس قائم نقاط منتظر حذف شود و پارالاکس موازی آنها نیز اختلاف ارتفاع نقاط را نشان دهد. بدینهی است که در این حالت، میانگین پارالاکس قائم نقاط منتظر در تصاویر شبه‌نرمال، مشخص کننده شیفت سیستماتیک دو صحنه نسبت به یکدیگر است، و انحراف معیار پارالاکس قائم این نقاط هم، معیاری از دقیق فرایند بازآرایی اپیپلار تصاویر خواهد بود (Morgan, 2004). از این‌رو به منظور ارزیابی دقیق مدل پیشنهادی، پس از پیاده‌سازی مدل و تولید تصاویر شبه‌نرمال (شکل ۸)، پارالاکس قائم باقی‌مانده (پس از حذف شیفت سیستماتیک دو صحنه) در 100 جفت نقطه منتظر با توزیع مناسب در سطح تصاویر شبه‌نرمال اندازه‌گیری شد. بر این اساس، دقیق روش پیشنهادی $0/94$ پیکسل به دست آمد. بیشترین پارالاکس قائم باقی‌مانده در سطح نقاط چک، $5/2$ پیکسل مشاهده شد.

براساس نتایج جدول‌های ۴ و ۵، از 15 نقطه کنترل برای ترکیب فضایی تصاویر استفاده شد و دقیق ترکیب تصاویر چپ و راست به ترتیب $0/95$ و $0/43$ پیکسل در فضای تصویر به دست آمد. دقیق ترکیب چپ مناسب به نظر می‌رسد، اما دقیق ترکیب راست حتی با افزایش تعداد نقاط و انتخاب ترکیب‌های گوناگون مکانی نقاط هم بهبود چندانی نیافت. دلیل این امر می‌تواند دقیق محدود مختصات عکسی نقاط کنترل در دسترس باشد. از طرفی باید توجه داشت که تعداد محدود پارامترهای موجود در مدل ریاضی به کار گرفته شده و به‌ویژه ثابت‌بودن پارامترهای وضعیتی سنجنده در کل صحنه و نبود سازوکاری برای کاهش خطاهای ناشی از اغتشاشات وضعیتی سنجنده نیز به‌نوبه خود می‌تواند موجب بروز خطاهای سیستماتیک در مدل‌سازی شود. پس از برآورد پارامترهای توجیه خارجی تصاویر استریو، نوبت به محاسبه پارامترهای وضعیتی و مسیر ایده‌آل سنجنده می‌رسد (جدول‌های ۸ و ۹)، که با استفاده از روابط ارائه شده در جدول ۳ به‌سادگی انجام‌پذیر است.

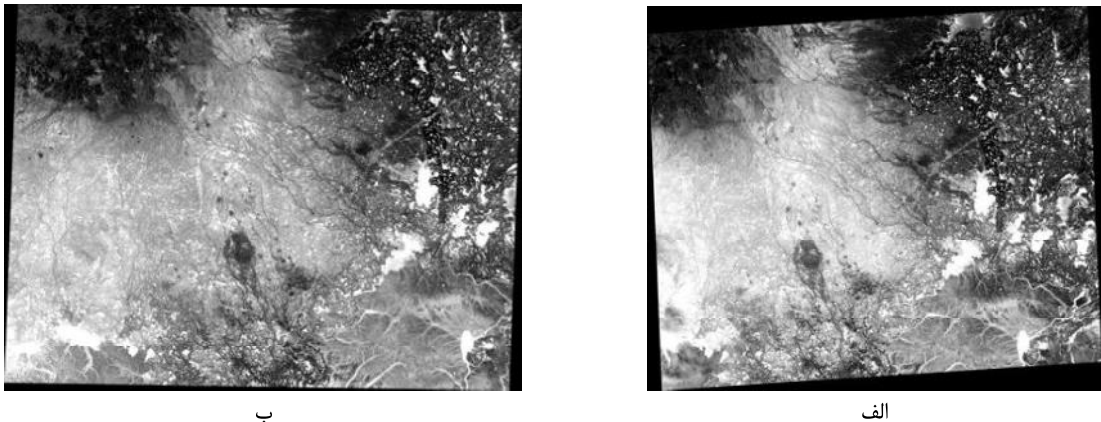
درنهایت، با دردست‌بودن پارامترهای توجیه خارجی اصلی و ایده‌آل دو تصویر، مختصات عکسی مجموعه‌ای از نقاط (یکی از هر 100 پیکسل) تصویر خام به فضای تصویر شبه‌اپیپلار انتقال یافت و از چندجمله‌ای دو بعدی درجه 4 (با 15 ترم برای هریک از دو مؤلفه

جدول ۸. پارامترهای توجیه خارجی اصلی و ایده‌آل تصویر چپ

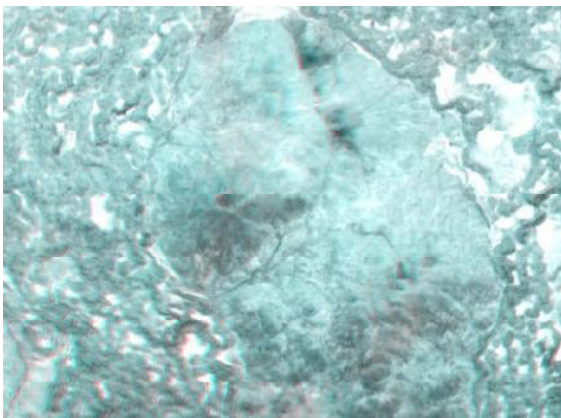
EOP	X ₀ (m)	X ₁ (m/line)	Y ₀ (m)	Y ₁ (m/line)	Z ₀ (m)	Z ₁ (m/line)	ω (deg)	ϕ (deg)	κ (deg)

جدول ۹. پارامترهای توجیه خارجی اصلی و ایده‌آل تصویر راست

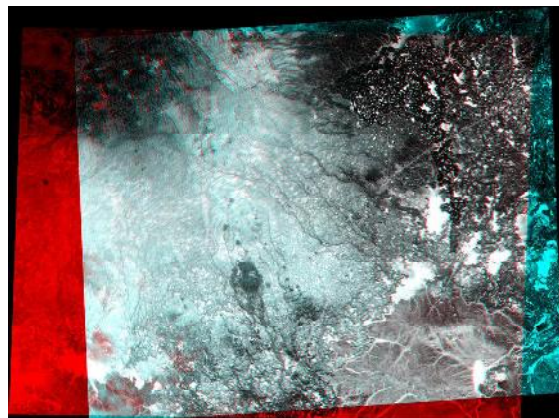
EOP	X ₀ (m)	X ₁ (m/line)	Y ₀ (m)	Y ₁ (m/line)	Z ₀ (m)	Z ₁ (m/line)	ω (deg)	ϕ (deg)	κ (deg)



شکل ۸. نمایش شماتیک تصاویر شبه‌نرمال راست (الف)، و چپ (ب) تولیدشده با استفاده از مدل پیشنهادی



شکل ۱۰. بخشی از تصویر آنالیف تولیدشده به روش پیشنهادی با بزرگنمایی بیشتر



شکل ۹. تصویر آنالیف تولیدشده به روش پیشنهادی

مبتنی بر استفاده از مدل‌های غیرفیزیکی - نظری مدل افاین سه‌بعدی و مدل توابع کسری- انتظار برآش سراسری بهتر مدل و تا حدی امکان استفاده از داده‌های ناوبری ثبت شده به وسیله سنجنده با استفاده از مدل مراکز تصویر چندگانه است. به دلیل تفسیر پذیری فیزیکی پارامترهای این مدل، می‌توان زوایای دید سنجنده را بر حسب نیاز تصحیح کرد. این امر، موجب تسهیل در بر جسته‌بینی، اندازه‌گیری و تفسیر مدل سه‌بعدی به دست آمده می‌شود. به دلیل

۵- نتیجه‌گیری و پیشنهاد

در پژوهش حاضر، روشی جدید برای بازارایی اپی‌پلار تصاویر خطی پوش‌بروم مطرح شد. در روش پیشنهادی، با مبنای قراردادن مدل مراکز تصویر چندگانه، مسیر حرکت و پارامترهای وضعیتی سنجنده ایده‌آل به گونه‌ای تعیین می‌شوند که افزون بر نزدیکی به پارامترهای واقعی تصاویر استریو، شرایط لازم را نیز برای دریافت تصاویر اپی‌پلار داشته باشند. یکی از مزایای این روش در قیاس با روش‌های

ترم‌های مناسب نیز می‌توان به دقت‌های مناسبی دست یافت. اما به کارگیری هر یک از دو راهکار اخیر موجب برهم‌خوردن شرایط مفروض در مدل پیشنهادی خواهد شد. جست‌وجوی راه حلی برای این چالش می‌تواند موضوع پژوهش‌های آتی در این زمینه باشد.

با تأمل دوباره در شرایط لازم برای تشکیل صفحه اپیپلار ایده‌آل می‌توان دریافت که پارامترهای وضعیتی ایده‌آل سنجنده به معنای موازی بودن سطربه‌سطر تصاویر استریو، و مسیر ایده‌آل سنجنده به معنای ثابت بودن باز هوایی آنها و توازن بستون دو تصویر (در صورت تصحیح جابه‌جایی ناشی از ارتفاع) است. در این حالت انتظار می‌رود که پوشش زمینی تصاویر نیز سطربه‌سطر و ستون بستون موازی باشند. درنتیجه، به نظر می‌رسد با موازی ساختن تصویر سطربه‌سطرها و ستون‌های تصاویر استریو روی صفحه‌ای در فضای شیئی نیز بتوان به بازآرایی اپیپلار تصاویر خطی پوشبروم پرداخت. در این صورت قید استفاده از مدل گوپتا و هارتلی (۱۹۹۷) نیز بر طرف می‌شود و افزون بر پیکربندی‌های متنوع مدل مراکز تصویر چندگانه می‌توان از مدل‌های مختلف استفاده شده در تصحیح هندسی تصاویر خطی نیز برای تولید تصاویر شبهنرمال استفاده کرد.

۶- منابع

- Cho, W., Schenk, T. & Madani, M., 1992, **Resampling Digital Imagery to Epipolar Geometry**, International Archives of Photogrammetry and Remote Sensing, 29(B3), PP. 404-408.
- De Haan, A., 1992, **An Analysis of the Precision of a DEM Obtained from SPOT Data**, International Archives of Photogrammetry and Remote Sensing, 29(B4), PP. 440-447.

وجود روابط صریح میان فضای تصاویر شبهنرمال تولیدشده و تصاویر اصلی، می‌توان مختصات نقاط متناظر را به فضای تصاویر اصلی بازگرداند و طی فرایند تقاطع فضایی، ارتفاع دقیق نقاط را در فضای شیئی محاسبه کرد. به این ترتیب امکان استفاده از مدل پیشنهادی در تولید مدل رقومی زمین و تولید ارتوپتو نیز فراهم می‌آید.

روش پیشنهادی برای بازنمونه برداری تصاویر خطی پوشبروم و فائق‌آمدن بر مشکل مربوط به پویایی پارامترهای توجیه خارجی این تصاویر نیز می‌تواند از دستاوردهای این پژوهش قلمداد شود.

نتایج به دست آمده از پیاده‌سازی روش پیشنهادی روی تصاویر استریو SPOT، کارایی این روش را برای سیستم تصویربرداری Cross Track ثبات کردنده. البته برای تصاویر خطی Along Track نیز نتایج مشابهی انتظار می‌رود، که می‌تواند در پژوهش دیگری آزمون شود. یکی از مسائل پیش‌رو در این آزمون، دسترسی نداشتن به داده‌های افرمیز سنجنده و وابستگی تمامی نتایج به دست آمده (از مرحله محاسبه مقادیر اولیه مدل مراکز تصویر چندگانه در ترفعیع فضایی تصاویر استریو تا دقت نهایی تصاویر شبهنرمال حاصل) به تعداد، توزیع و دقت نقاط کنترل زمینی استفاده شده است. با توجه به تعداد و نوع پارامترهای موجود در مدل ریاضی به کار گرفته شده، امکان باقی‌ماندن خطای سیستماتیک در مرحله مدل‌سازی هندسی تصاویر وجود دارد. در این صورت با توجه به ضعف ساختاری مدل، با افزایش نقاط کنترل زمینی هم انتظار نمی‌رود دقت مدل‌سازی بهبود یابد. راهکاری که در این شرایط به نظر می‌رسد، تقسیم‌بندی صحنه به چند تصویر کوچک‌تر و استفاده از یک مدل ریاضی مستقل برای هر بخش از صحنه است. با افزایش تعداد پارامترهای مدل مراکز تصویر چندگانه و افزودن

- Fraser, C.S. & Shao, J., 1996, **Exterior Orientation Determination of MOMS-02 Three-line Imagery: experiences with the Australian test field data**, International Archives of Photogrammetry & Remote Sensing, 31(B3), PP. 207-214.
- Fritz, L.W., 1995, **Recent Developments for Optical Earth Observation in the United States**, Photogrammetric Week 95, Wichmann, Heidelberg, 350 pages, PP. 75–84.
- Ganguly, P.K., 1991, **Mathematical Modeling for Mapping from SPOT**, M.Sc. Thesis, ITC, Netherlands.
- Gugan, D.J., 1987, **Topographic Mapping from SPOT Imagery**, Ph.D. Thesis, University College London.
- Guichard, H., 1983, **Etude Theorique de la Precision dans l'Exploitation Cartographique d'une Satellite à Défilement: Application à SPOT**, Bulletin de la Société Française de Photogrammétrie et de Télédétection, 90, PP. 15-26.
- Gupta, R. & Hartly, R.I., 1997, **Linear Pushbroom Cameras**, IEEE Transactions on Pattern Analysis and Machine Intelligence, 19(9), PP. 963–975.
- Habib, A.F., Morgan, M., Jeong, S. & Kim, K.O., 2005a, **Analysis of Epipolar Geometry in Linear Array Scanner Scenes**, The Photogrammetric Record, 20 (109), PP. 27–47.
- Habib, A.F., Morgan, M., Jeong, S. & Kim, K.O., 2005b, **Epipolar Geometry of Line Cameras Moving with Constant Velocity and Attitude**, ETRI Journal, (27).
- Heipke, C., Kornus, W. & Pfannenstein, A., 1996, **The Evaluation of MEOSS Airborne Three-line Scanner Imagery: processing chain and results**, Photogrammetric Engineering & Remote Sensing, 62(3), PP. 293–299.
- Kim, T., 2000, **A Study on the Epipolarity of Linear Pushbroom Images**, Photogrammetric Engineering & Remote Sensing, 66(8), PP. 961–966.
- Kornus, W., Ebner, H. & C. Heipke, 1995, **Photogrammetric Point Determination Using MOMS-02/D2 Imagery**, Proc. of MOMS Symposium, Cologne, Germany, July 5-7.
- Kratky, V., 1987, **Rigorous Stereophotogrammetric Treatment of SPOT Images**, SPOT 1-Utilisation des Images, Bilan, Resultats, CNES, Paris, PP. 1195-1204.
- Lee, C., Theiss, H.J., Bethel, J.S. & Mikhail, E.M., 2000, **Rigorous Mathematical Modeling of Airborne Pushbroom Imaging Systems**, Photogrammetric Engineering & Remote Sensing, 66(4), PP. 385–392.
- McGlone, C., 1996, **Sensor Modeling in Image Registration, Digital Photogrammetry: An Addendum** (C.W. Greve, editor), American Society of Photogrammetry and Remote Sensing, Bethesda, Maryland, PP. 115-123.
- Mikhail, E.M., Bethel, J.S. & McGlone, J.C., 2001, **Introduction to Modern Photogrammetry**, Wiley, New York.

Morgan, M., 2004, **Epipolar Resampling of Linear Array Scanner Scenes**, Ph.D. Dissertation, University of Calgary, Canada.

Morgan, M., Kim, K., Jeong, S. & Habib, A., 2004a, **Indirect Epipolar Resampling of Scenes Using Parallel Projection Modeling of Linear Array Scanners**, International Archives of the Photogrammetry, Remote Sensing and Spatial Information Sciences, 35(B3), PP. 508–513.

Morgan, M., Kim, K., Jeong, S. & Habib, A., 2004b, **Epipolar Geometry of Linear Array Scanners Moving with Constant Velocity and Constant Attitude**, International Archives of the Photogrammetry, Remote Sensing and Spatial Information Sciences, 35(B3), PP. 52–57.

Orun, A.B. & Natarajan, K., 1994, **A Modified Bundle Adjustment Software for SPOT Imagery and Photography: Tradeoff**, Photogrammetric Engineering and Remote Sensing, 60(12), PP. 1431-1437.

Pollard, S.B., Mayhew, J.E.W. & Frisby, J.P., 1985, **PMF: a stereo correspondence algorithm using a disparity gradient limit**, Perception, 14(4), PP. 449–470.

Priebbenow, R.J., 1991, **Triangulation of SPOT Imagery at the Department of Lands, Queensland**, OEEPE Publication, OEEPE Test of Triangulation of SPOT Data, (26), PP. 109-128.

Radhadavi, P.V. & Ramachandran, R., 1994, **Orbital Attitude Modeling of SPOT**

Imagery with a Single Ground Control Point, Photogrammetric Record, 14(84), PP. 973-982.

Salmonowicz, P.H., 1986, **Satellite Orientation and Position for Geometric Correction of Scanner Imagery**, Photogrammetric Engineering and Remote Sensing, 31(B4), PP. 742-747.

Schenk, T., 1999, **Digital Photogrammetry**, Volume I, TerraScience, Laurelvile, Ohio.

Shibasaki, R., Murai, S. & Okuda, T., 1988, **SPOT Imagery Orientation with Auxiliary Satellite Position and Attitude Data**, International Archives of Photogrammetry and Remote Sensing, 27(B9), PP. 125-132.

Toutin, T., 1986, **Etude Mathematique pour la Rectification d'Images SPOT**, 18e Congres de la Federation Internationale des Geometres, Canada, PP. 379-395.

Valadan Zoej, M.J., 1995, **Developments of Linear Arraytechnology for Photogrammetric Mapping**, NCC Scientific and Technical Quarterly Journal, PP. 5-16.

Valadan Zoej, M.J., 1997, **Mathematical Modelling and Geometric Accuracy Testing of MOMS-02 Imagery**, 4th Conference on Geographic Information systems.

Wang, M., Hub, F. & Li, J., 2011, **Epipolar Resampling of Linear Pushbroom Satellite Imagery by a New Epipolarity Model**, ISPRS Journal of Photogrammetry and Remote Sensing, 66, PP. 347–355.

- Westin, T., 1990, **Precision Rectification of SPOT Imagery**, Photogrammetric Engineering and Remote Sensing, 56(2), PP. 247-253.
- Zhang, Z., Deriche, R., Faugeras, O., Luong, Q.T., 1995, **A Robust Technique for Matching two Uncalibrated Images through the Recovery of the Unknown Epipolar Geometry**, Artificial Intelligence, 78(1995), PP. 87-119.
- Zhao, D., Yuan, X.X. & Liu, X., 2008, **Epipolar Line Generation from IKONOS Imagery based on Rational Function Model**, International Archives of the Photogrammetry, Remote Sensing and Spatial Information Sciences, 37(B4), PP. 1293–1297.